5 Sistema OFDM

O sistema OFDM permite uma implementação digital de maneira análoga ao que foi apresentado para os sistemas de uma única portadora (SC). Após uma introdução ao sistema OFDM na Seção 5.1, a Seção 5.2 apresenta o modelo de sinais para OFDM, tanto para transmissão quanto para a recepção, assim como a inserção da faixa de guarda.

A Seção 5.3 descreve os equalizadores ZF e MMSE para o caso de transmissão OFDM. Estes resultados, que necessitam do conhecimento das componentes do canal equivalente, servem de figura de mérito para a obtenção dos filtros adaptativos, descritos na Seção 5.4.

A Seção 5.5 descreve com maiores detalhes a estrutura da matriz de erro que pré-multiplica os blocos de dados na entrada do decisor de mínima distância. Devido ao grau de semelhança nos modelos SC e OFDM, a Seção 5.6 apresenta um modelo unificado entre os sistemas, que depende apenas da escolha de poucos parâmetros para resultar no modelo desejado, seja o ZP-OFDM, CP-OFDM, CP-SC-FDE ou ZP-SC-FDE, com ou sem DFE.

Na Seção 5.7 são levantadas curvas de desempenho, via simulação computacional, para ilustrar a diferença de desempenho entre os sistemas descritos anteriormente. E por fim, na Seção 5.8, são tecidos comentários acerca dos resultados obtidos.

5.1 Introdução ao OFDM

A técnica de transmissão OFDM baseia-se na multiplexação por divisão de freqüências ortogonais e surgiu como uma evolução da técnica convencional de multiplexação por divisão de freqüência FDM (Frequency Division Multiplexing). Em FDM, usa-se uma pequena faixa de segurança entre cada portadora como banda de guarda. Já no OFDM, trabalha-se com toda a faixa do espectro disponível, pois faz-se uso de uma superposição espectral particular, onde cada subportadora é ortogonal com relação à todas outras (no domínio da freqüência). Mais sobre o OFDM pode ser encontrada na literatura como em [14], [2], [10].

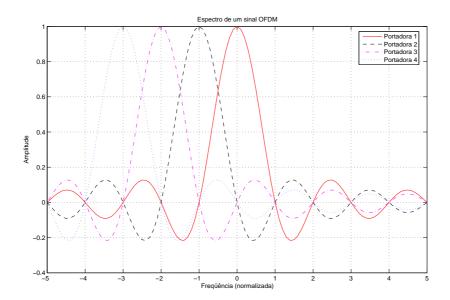


Figura 5.1: Espectro ilustrativo de 4 portadoras na técnica OFDM.

Num sistema convencional de transmissão, os símbolos são enviados de forma seqüêncial, através de uma única portadora, modulada à taxa de símbolos da fonte de informação. O espectro desta portadora ocupa todo as banda disponível.

A técnica OFDM consiste na transmissão paralela de dados em diversas subportadoras e com taxas de transmissão mais baixas, conforme aumenta-se o número de subportadoras utilizadas. Esta redução na taxa de símbolos, ou seja, um aumento na duração do símbolo em cada subportadora, representa um estreitamento do pulso no domínio freqüência, o que o torna menos sensível à seletividade em freqüência.

Em outras palavras, o desvanescimento seletivo em freqüência se torna plano (ou quase plano), pois só afeta um símbolo de informação, já que permite-se enxergar os símbolos sendo multiplicados unicamente por frações do canal de comunicações. Este fato reduz significativamente a complexidade dos equalizadores.

Do ponto de vista do domínio do tempo, tem-se equivalentemente que a dispersão temporal do pulso o torna menos susceptível à IES, uma vez que diminui-se a superposição de símbolos.

Como é possível perceber apartir da Figura 5.1, há superposição espectral. Porém, as subportadoras podem ser isoladas das demais com uso de correlarotes ou filtros casados [17]. Existe então, uma ortogonalidade entre estas subportadoras. Entretanto, um dos problemas do sistema OFDM é a sensibilidade à offsets no circuito de recuperação de portadora, resultando em descasamento dos osciladores de transmissão-recepção, e assim, perdendo a ortogonalidade

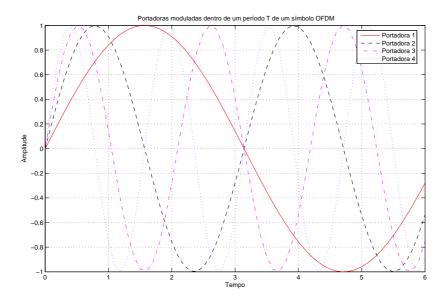


Figura 5.2: 4 subportadoras dentro de um símbolo OFDM.

entre as subportadoras.

A Figura 5.2 ilustra o comportamento temporal de 4 subportadoras numa transmissão OFDM. Estas, estão um número inteiro de ciclos espaçadas entre si, ou seja, $k\frac{1}{T}$, onde k é um inteiro qualquer.

5.1.1 Fontes de degradação

A interferência entre portadoras (IEP ou do inglês, como é comumente referenciada ICI - Interchannel interference), desfaz o ortogonalidade das subportadoras OFDM. Uma das causas é o ruído de fase. Um oscilador prático não gera uma portadora numa freqüência perfeitamente exata. Ao invés disso, é gerada um portadora modulada em fase por um sinal aleatório. Lembrando que a freqüência é a derivada da fase, obtém-se assim um sinal (portadora) com freqüência próxima da desejada. Como estes pequenos desvios (offsets) existem, isto gera ICI. Por isso, o OFDM é considerado sensível à desvios de fase/freqüência.

Nos sistemas de portadora única, os desvios de fase/freqüência conferem degradações apenas na RSR, não acarretando em interferências.

Outro problema inerente ao fato da IDFT na transmissão é a dificuldade de se dimensionar o amplificador. As excursões do sinal podem atingir valores altos, necessitando de amplificadores muito potentes (e fatalmente grandes e pesados), o que pode se tornar impeditivo num transmissor móvel. Esta relação entre o valor de pico do sinal e o seu valor médio é conhecida pela sigla PAPR (do inglês *Peak-to-Average Power Ratio*).

5.2

Transmissão e recepção OFDM

De maneira análoga ao que foi apresentado nas Seções 2.1 e 2.2, pode-se representar o modelo de transmissão/recepção OFDM via sua implementação discreta. A diferença é que, no OFDM, faz-se uma IDFT (Transformada discreta inversa de Fourier) no estágio de transmissão do sinal, como apresentado na Figura 1.1 de maneira simplificada. Toda análise feita no Capítulo 2 para os canais, ruído e Interferência Entre Blocos (IEB) é válida e mantida para o OFDM. Da mesma forma, com faixa de guarda apropriada $(L \geq P)$, elimina-se a interferência entre blocos sucessivos.

O bloco de dados $\mathbf{b}(i)$ é definido na Seção 2.1. Este vetor é então projetado em N sub-espaços ortogonais fazendo

$$\tilde{\mathbf{s}}(i) = \mathbf{W}_N^{\mathcal{H}} \mathbf{b}(i). \tag{5-1}$$

A matriz de DFT \mathbf{W}_N está definida em (2-59), e sua hermitiana representa a matriz de IDFT. Cada componente do *i*-ésimo bloco transformado pode ser encontrada calculando-se

$$\tilde{s}^{(i)}(\beta) = \frac{1}{\sqrt{N}} \sum_{n=0}^{N-1} b^{(i)}[n] e^{j\frac{2\pi}{N}n\beta} \quad ; 0 \le \beta \le N-1$$
 (5-2)

e representa a informação associada a β -ésima sub-portadora, chamada também de sub-símbolo de um bloco OFDM (ou símbolo OFDM). Ocorre então, a transmissão da transformada do bloco, e não o bloco em si, como é o caso dos sistemas com portadora única .

5.2.1 Bloco CP-OFDM

De maneira análoga ao CP-SC, o bloco CP-OFDM $(L_1 = L)$ é obtido por meio da matriz $\mathbf{V}^T(L)$,

$$\mathbf{d}_{CP}(i) = \mathbf{V}^{T}(L)\mathbf{W}_{N}^{\mathcal{H}}\mathbf{b}(i). \tag{5-3}$$

Cada uma das componentes do bloco CP-OFDM é expressa por

$$d_{CP}^{(i)}[k] = \begin{cases} \tilde{s}^{(i)}[k] & ; L \le k \le M - 1\\ \tilde{s}^{(i)}[k+N] & ; 0 \le k \le L - 1 \end{cases},$$
 (5-4)

onde $\tilde{s}^{(i)}[k]$ é definido em (5-2), observando que $\beta=k-L$. O bloco recebido

é então igual à

$$\mathbf{r}_{CP}(i) = \underbrace{\mathbf{T}(L)\mathbf{Q}_{T}(i)\mathbf{V}^{T}(L)}_{\mathbf{Q}_{c}(i)} \mathbf{W}_{N}^{\mathcal{H}}\mathbf{b}(i) + \mathbf{n}_{N}(i)$$

$$= \mathbf{Q}_{c}(i)\mathbf{W}_{N}^{\mathcal{H}}\mathbf{b}(i) + \mathbf{n}_{N}(i), \qquad (5-5)$$

de forma semelhante ao procedimento para a equação (2-39). Aplicando-se uma DFT de N-pontos sobre (5-5) resulta em

$$\tilde{\mathbf{r}}_{CP}(i) = \mathbf{W}_N \mathbf{Q}_c(i) \mathbf{W}_N^{\mathcal{H}} \mathbf{b}(i) + \mathbf{W}_N \mathbf{n}_N(i)
= \tilde{\mathbf{Q}}_d(i) \mathbf{b}(i) + \tilde{\mathbf{n}}_N(i).$$
(5-6)

Percebe-se que no sistema CP-OFDM, há uma ortogonalidade dos dados na recepção, diferente do observado no CP-SC, expresso em (2-65), onde a transformada dos dados é observada na recepção. Isto leva o CP-OFDM a não ter IES no bloco a ser detectado. Porém, não há ganho de diversidade algum.

5.2.2 Bloco ZP-OFDM

Conforme visto na Sub-seção 2.1.1, o bloco com preenchimentos com zeros (Zero-Padding) ($L_1 = 0$) é obtido por meio da matriz $\mathbf{V}^T(0)$, assim

$$\mathbf{d}_{ZP}(i) = \mathbf{V}^{T}(0)\mathbf{W}_{N}^{\mathcal{H}}\mathbf{b}(i). \tag{5-7}$$

Cada uma das componentes do bloco ZP-OFDM é expressa por

$$d_{ZP}^{(i)}[k] = \begin{cases} \frac{1}{\sqrt{N}} \sum_{n=0}^{N-1} b^{(i)}[n] e^{j\frac{2\pi}{N}nk} & ; 0 \le k \le N-1\\ 0 & ; N \le k \le M-1 \end{cases}$$
 (5-8)

Temos então o vetor (bloco) recebido dado por

$$\mathbf{r}_{ZP}(i) = \mathbf{Q}_T(i)\mathbf{V}^T(0)\mathbf{W}_N^{\mathcal{H}}\mathbf{b}(i) + \mathbf{n}_M(i). \tag{5-9}$$

Procedendo de maneira análoga ao SC, uma transformada M-pontos é aplicada ao bloco recebido. Obtém-se assim

$$\tilde{\mathbf{r}}_{ZP}(i) = \mathbf{W}_{M} \mathbf{Q}_{T}(i) \mathbf{V}^{T}(0) \mathbf{W}_{N}^{\mathcal{H}} \mathbf{b}(i) + \mathbf{W}_{M} \mathbf{n}_{M}(i)
= \mathbf{W}_{M} \mathbf{Q}_{c}(i) \mathbf{W}_{M}^{\mathcal{H}} \mathbf{W}_{M} \mathbf{V}^{T}(0) \mathbf{W}_{N}^{\mathcal{H}} \mathbf{b}(i) + \tilde{\mathbf{n}}_{M}(i)
= \tilde{\mathbf{Q}}_{d}(i) \mathbf{W}_{MN} \mathbf{W}_{N}^{\mathcal{H}} \mathbf{b}(i) + \tilde{\mathbf{n}}_{M}(i).$$
(5-10)

Em ambos os casos (CP e ZP), a DFT aplicada ao vetor recebido, tem o

efeito de reduzir a complexidade computacional da equalização, que é feita no domínio da frequência.

5.3 Equalização OFDM-FDE

A equalização no caso da transmissão OFDM, também é realizada no domínio da freqüência, com o objetivo de aproveitar a redução da complexidade no número de operações aritméticas realizadas pelo filtro equalizador.

5.3.1 CP-Zero-Forcing

O equalizador Zero-Forcing elimina parcela de contribuição das componentes do canal que atuam sobre os dados. Assim, o bloco $\mathbf{y}(i)$, que produzirá a estimativa ZF é

$$\mathbf{y}(i) = \tilde{\mathbf{A}}_{ZF} \tilde{\mathbf{Q}}_{d}(i) \mathbf{b}(i) + \tilde{\mathbf{A}}_{ZF} \tilde{\mathbf{n}}_{N}(i)$$

$$= \mathbf{b}(i) + \mathbf{n}_{ZF}(i), \qquad (5-11)$$

onde o equalizador ZF é

$$\tilde{\mathbf{A}}_{ZF} = \tilde{\mathbf{Q}}_d^{-1}(i). \tag{5-12}$$

A inversão da matriz $N \times N$ diagonal $\hat{\mathbf{Q}}_d(i)$ compreende apenas N operações.

A equalização ZF apresenta o problema de amplificação do ruído quando uma das componentes da transformada do canal atinge valor muito baixo, ou até a possível perda de detectabilidade de um sub-símbolo OFDM, caso haja um nulo no espectro do canal.

5.3.2 CP-OFDM - MMSE

O Apêndice A apresenta o desenvolvimento para a equalização da transmissão CP-OFDM-FDE-MMSE. A expressão para este equalizador é

$$\tilde{\mathbf{A}}_{MMSE}(i) = \tilde{\mathbf{Q}}_d^{\mathcal{H}} \left[\tilde{\mathbf{Q}}_d \tilde{\mathbf{Q}}_d^{\mathcal{H}} + \sigma_n^2 \mathbf{I}_N \right]^{-1}, \tag{5-13}$$

em que há a necessidade apenas da inversão de uma matriz diagonal.

As expressões para o CP-OFDM-FDE-ZF e CP-OFDM-FDE-MMSE permitem enxergar o esquema de transmissão CP como apresentado no diagrama de blocos da Figura 5.3.

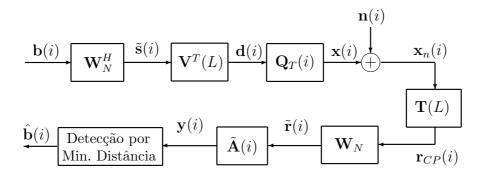


Figura 5.3: Modelo CP-OFDM com equalização no domínio da freqüência.

5.3.3 Observação sobre equalizadores MMSE e ZF para sistemas CP-OFDM-FDE

Como demonstra a equação (5-6), o vetor de dados recebido pode ser visto como N equações desacopladas, e por conseguinte, o equalizador pode ser implementado com N coeficientes independentes. Isto posto, pode-se rescrever a k-ésima componente do i-ésimo vetor de equalização ZF como

$$\tilde{a}_{ZF}^{(i)}[k] = \left(\tilde{Q}^{(i)}[k]\right)^{-1} \\
= \left(\left|\tilde{Q}^{(i)}[k]\right| \angle \phi^{(i)}[k]\right)^{-1} \\
= \frac{1}{\left|\tilde{Q}^{(i)}[k]\right|} \angle -\phi^{(i)}[k], \tag{5-14}$$

onde $|\tilde{Q}^{(i)}[k]|$ representa a amplitude (módulo) da k-ésima componente da transformada do canal e $\phi^{(i)}[k]$ denota a fase do coeficiente em questão do canal. Para o caso do equalizador MMSE, tem-se que

$$\tilde{a}_{MMSE}^{(i)}[k] = \frac{\left(\tilde{Q}^{(i)}[k]\right)^{*}}{\left|\tilde{Q}^{(i)}[k]\right|^{2} + \left(\sigma_{\tilde{n}}^{(i)}[k]\right)^{2}} \\
= \frac{\left|\tilde{Q}^{(i)}[k]\right| \angle -\phi^{(i)}[k]}{\left|\tilde{Q}^{(i)}[k]\right|^{2} + \left(\sigma_{\tilde{n}}^{(i)}[k]\right)^{2}} \\
= \frac{\left|\tilde{Q}^{(i)}[k]\right|^{2} + \left(\sigma_{\tilde{n}}^{(i)}[k]\right)^{2}}{\left|\tilde{Q}^{(i)}[k]\right|^{2} + \left(\sigma_{\tilde{n}}^{(i)}[k]\right)^{2}} \underbrace{\left[\frac{1}{\left|\tilde{Q}^{(i)}[k]\right|} \angle -\phi^{(i)}[k]\right]}_{\tilde{a}_{ZF}^{(i)}[k]} \\
= \Gamma^{(i)}[k]\tilde{a}_{ZF}^{(i)}[k]. \tag{5-15}$$

Observa-se no entanto que $\Gamma^{(i)}[k]$ é um número real, e portanto com fase igual à 0° , representando assim apenas um ganho em amplitude. A k-ésima

componente de um bloco $\mathbf{y}(i)$ qualquer na entrada do decisor de mínima distância é então

$$y_{ZF}^{(i)}[k] = \tilde{a}_{ZF}^{(i)}[k]r^{(i)}[k],$$
 (5-16)

no caso do zero-forcing, e

$$y_{MMSE}^{(i)}[k] = \tilde{a}_{MMSE}^{(i)}[k]r^{(i)}[k]$$
$$= \Gamma^{(i)}[k]\tilde{a}_{ZF}^{(i)}[k]r^{(i)}[k], \qquad (5-17)$$

para o caso do equalizador MMSE. Fica evidente pelas equações (5-16) e (5-17) que, para constelações PSK, não há diferença alguma entre o ZF e MMSE no caso do CP-OFDM, devido ao fato de toda a informação estar contida na fase do símbolo complexo. Este fato fica ilustrado nas curvas de desempenhos da Seção 5.7.

Assim, é direto que os equalizadores para o CP-OFDM-FDE podem ser implementados corrigindo apenas a fase dos símbolos observados na recepção. Entretanto, para manter a estrutura dos equalizadores deste trabalho, os algoritmos são implementados de maneira genérica, considerando também o módulo dos coeficientes, visto que em modulações que possuam diferentes amplitudes em sua constelação de sinais (ex: QAM), o desempenho do CP-OFDM-FDE-ZF e CP-OFDM-FDE-MMSE não mais serão equivalentes.

5.3.4 ZP-OFDM - Zero-forcing

Nas transmissões com sufixação ZP como faixa de guarda, o vetor recebido sofre, além da contribuição do canal, uma parcela advinda das DFTs de diferentes resoluções involvidas, como é observado em (5-10). Para se retirar a parcela que atua sobre o bloco de dados em (5-10), o equalizador ZF produz um vetor, à entrada do decisor, que é

$$\mathbf{y}(i) = \tilde{\mathbf{A}}_{ZF}(i)\tilde{\mathbf{Q}}_{d}(i)\mathbf{W}_{MN}\mathbf{W}_{N}^{\mathcal{H}}\mathbf{b}(i) + \tilde{\mathbf{A}}_{ZF}(i)\tilde{\mathbf{n}}_{M}(i)$$

$$= \mathbf{b}(i) + \mathbf{n}_{ZF}(i), \qquad (5-18)$$

onde a matriz equalizadora $\tilde{\mathbf{A}}_{ZF}(i)$ de dimensão $N \times M$, no caso do ZP-OFDM é encontrada computando a pseudo-inversa do produto de matrizes que pré-

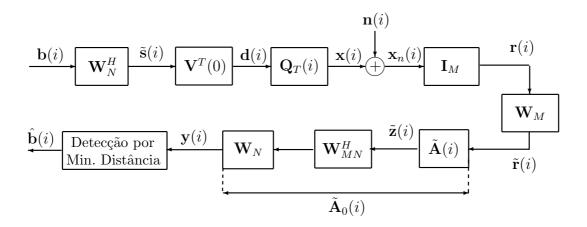


Figura 5.4: Estrutura da transmissão/recepção ZP-OFDM com equalização MMSE no domínio da freqüência.

multiplica o bloco de dados $\mathbf{b}(i)$. Assim,

$$\tilde{\mathbf{A}}_{ZF}(i) = \left[\tilde{\mathbf{Q}}_{d}(i)\mathbf{W}_{MN}\mathbf{W}_{N}^{\mathcal{H}}\right]^{\dagger}$$

$$= \left[\mathbf{W}_{N}\mathbf{W}_{MN}^{\mathcal{H}}\tilde{\mathbf{Q}}_{d}^{\mathcal{H}}(i)\tilde{\mathbf{Q}}_{d}(i)\mathbf{W}_{MN}\mathbf{W}_{N}^{\mathcal{H}}\right]^{-1}\mathbf{W}_{N}\mathbf{W}_{MN}^{\mathcal{H}}\tilde{\mathbf{Q}}_{d}^{\mathcal{H}}(i). (5-19)$$

5.3.5 ZP-OFDM - MMSE

Na minimização da função custo definida em (A-1), obtém-se

$$\tilde{\mathbf{A}}_{0,MMSE}(i) = \frac{M}{N} \mathbf{W}_{N} \mathbf{W}_{MN}^{\mathcal{H}} \tilde{\mathbf{Q}}_{d}^{\mathcal{H}}(i) \underbrace{\left[\left(\tilde{\mathbf{Q}}_{d}(i)\tilde{\mathbf{Q}}_{d}^{\mathcal{H}}(i) + \frac{M}{N}\sigma_{n}^{2}\mathbf{I}_{M}\right)\right]^{-1}}_{\text{Diagonal}}.$$
(5-20)

Da mesma maneira que o ocorrido com o CP, há somente a inversão de uma matriz diagonal, neste caso de dimensão $M \times M$, desde que considerada a aproximação descrita no Apêndice A para o produto das DFTs truncadas em (5-20). Como $\frac{M}{N}\mathbf{W}_N\mathbf{W}_{MN}^{\mathcal{H}}$ é constante dado um tamanho de bloco N e uma faixa de guarda L, pode-se estabelecer, de maneira equivalente, que o equalizador MMSE é a matriz diagonal

$$\tilde{\mathbf{A}}_{MMSE}(i) = \tilde{\mathbf{Q}}_{d}^{\mathcal{H}}(i) \left[\left(\tilde{\mathbf{Q}}_{d}(i) \tilde{\mathbf{Q}}_{d}^{\mathcal{H}}(i) + \frac{M\sigma_{n}^{2}}{N} \mathbf{I}_{M} \right) \right]^{-1}, \tag{5-21}$$

que depende apenas do canal, seguido de uma pós-multiplicação por $\frac{M}{N}\mathbf{W}_{N}\mathbf{W}_{MN}^{\mathcal{H}}$, que é fixo e independente do canal. A Figura 5.4 ilustra o di-

Figura 5.5: Estrutura unificiada de transmissão OFDM-FDE.

agrama em blocos do esquema de transmissão/equalização ZP-OFDM-FDE-MMSE.

5.4 Equalização adaptativa OFDM-FDE

A Figura 5.5 apresenta ambos os sistemas (CP e ZP), em um único diagrama de blocos. A equalização se dá no domínio da freqüência, implementando de forma recursiva a solução de *Wiener* (MMSE) para os coeficients do filtro linear. Diferentes algoritmos podem implementar esta solução, porém, como é visto no Capítulo 3, o algoritmo RLS apresenta desempenho superior (entre o LMS, NLMS e RLS) e é menos sensível à escolha do parâmetro de atualização, sendo desta maneira mais robusto. Assim, a função custo é

$$J_{RLS} = \sum_{l=1}^{i} \lambda^{i-l} \|\mathbf{b}(l) - \tilde{\mathbf{A}}_{0}(i)\tilde{\mathbf{r}}(l)\|^{2}.$$
 (5-22)

Devido ao fato de podermos escrever o filtro equalizador adaptativo como M_1 taps em uma matriz diagonal, é possível rescrever a equação (5-22) de maneira equivalente, fazendo

$$J_{RLS} = \sum_{l=1}^{i} \lambda^{i-l} \|\mathbf{b}(l) - \mathbf{W}_N \mathbf{V}(L_1) \mathbf{T}^T(L_1) \mathbf{W}_{M_1} \tilde{\mathbf{R}}(l) \tilde{\mathbf{a}}(i) \|^2.$$
 (5-23)

No argumento da função (5-23) tem-se o vetor de erro associado ao i-ésimo bloco OFDM (ou símbolo OFDM) transmitido

$$\mathbf{e}(i) = \mathbf{b}(i) - \mathbf{W}_N \mathbf{V}(L_1) \mathbf{T}^T(L_1) \mathbf{W}_{M_1}^{\mathcal{H}} \tilde{\mathbf{R}}(i) \tilde{\mathbf{a}}(i). \tag{5-24}$$

Tomando o gradiente complexo da função custo definida em (5-23) com relação ao vetor de coeficientes do equalizador $\tilde{\mathbf{a}}(i)$, obtém-se

$$\nabla_{\tilde{\mathbf{a}}} J_{RLS} = \sum_{l=1}^{i} \lambda^{i-l} \nabla_{\tilde{\mathbf{a}}} \left[\mathbf{b}^{\mathcal{H}} \mathbf{b} - \mathbf{b}^{\mathcal{H}} \mathbf{W}_{N} \mathbf{V}(L_{1}) \mathbf{T}^{T}(L_{1}) \mathbf{W}_{M_{1}}^{\mathcal{H}} \tilde{\mathbf{R}} \tilde{\mathbf{a}} - \tilde{\mathbf{a}}^{\mathcal{H}} \tilde{\mathbf{R}}^{\mathcal{H}} \mathbf{W}_{M_{1}} \mathbf{T}(L_{1}) \mathbf{V}^{T}(L_{1}) \mathbf{W}_{N}^{\mathcal{H}} \mathbf{W}_{N} \mathbf{V}(L_{1}) \mathbf{T}^{T}(L_{1}) \mathbf{W}_{M_{1}}^{\mathcal{H}} \tilde{\mathbf{R}} \tilde{\mathbf{a}} \right]$$

$$= -2 \sum_{l=1}^{i} \lambda^{i-l} \left[\tilde{\mathbf{R}}^{T} \mathbf{W}_{M_{1}}^{*} \mathbf{T}(L_{1}) \mathbf{V}^{T}(L_{1}) \mathbf{W}_{N}^{T} \mathbf{b}^{*} \right]$$

$$- \tilde{\mathbf{R}}^{T} \mathbf{W}_{M_{1}}^{*} \mathbf{T}(L_{1}) \mathbf{V}^{T}(L_{1}) \mathbf{V}(L_{1}) \mathbf{T}^{T}(L_{1}) \mathbf{W}_{M_{1}}^{T} \tilde{\mathbf{R}}^{*} \tilde{\mathbf{a}}^{*} \right], \qquad (5-25)$$

em que o índice i foi excluído por simplificação. Igualando o gradiente em (5-25) à zero e conjugando termos, chega-se a

$$\nabla_{\tilde{\mathbf{a}}} J_{RLS} = 0.$$

$$= -2 \sum_{l=1}^{i} \lambda^{i-l} \left[\tilde{\mathbf{R}}^{\mathcal{H}} \mathbf{W}_{M_1} \mathbf{T}(L_1) \mathbf{V}^{T}(L_1) \mathbf{W}_{N}^{\mathcal{H}} \mathbf{b} \right]$$

$$- \tilde{\mathbf{R}}^{\mathcal{H}} \mathbf{W}_{M_1} \mathbf{T}(L_1) \mathbf{V}^{T}(L_1) \mathbf{V}(L_1) \mathbf{T}^{T}(L_1) \mathbf{W}_{M_1}^{\mathcal{H}} \tilde{\mathbf{R}} \tilde{\mathbf{a}} . \quad (5-26)$$

Rearrumando as parcelas, obtém-se

$$\sum_{l=1}^{i} \lambda^{i-l} \tilde{\mathbf{R}}^{\mathcal{H}} \mathbf{W}_{M_1} \mathbf{T}(L_1) \mathbf{V}^{T}(L_1) \mathbf{V}(L_1) \mathbf{T}^{T}(L_1) \mathbf{W}_{M_1}^{\mathcal{H}} \tilde{\mathbf{R}} \tilde{\mathbf{a}} = \sum_{l=1}^{i} \lambda^{i-l} \tilde{\mathbf{R}}^{\mathcal{H}} \mathbf{W}_{M_1} \mathbf{T}(L_1) \mathbf{V}^{T}(L_1) \mathbf{W}_{N}^{\mathcal{H}} \mathbf{b}.$$
(5-27)

Definindo a parcela no lado esquerdo de (5-27) como

$$\mathbf{\Phi}_{ofdm}(i) = \sum_{l=1}^{i} \lambda^{i-l} \tilde{\mathbf{R}}^{\mathcal{H}}(l) \mathbf{W}_{M_1} \mathbf{T}(L_1) \mathbf{V}^{T}(L_1) \mathbf{V}(L_1) \mathbf{T}^{T}(L_1) \mathbf{W}_{M_1}^{\mathcal{H}} \tilde{\mathbf{R}}(l) \quad (5-28)$$

e a parcela do lado direito de (5-27) como

$$\chi_{ofdm}(i) = \sum_{l=1}^{i} \lambda^{i-l} \tilde{\mathbf{R}}^{\mathcal{H}}(l) \mathbf{W}_{M_1} \mathbf{T}(L_1) \mathbf{V}^{T}(L_1) \mathbf{W}_{N}^{\mathcal{H}} \mathbf{b}(l), \qquad (5-29)$$

permite expressar a solução OFDM-FDE-RLS como

$$\tilde{\mathbf{a}}(i) = \mathbf{\Phi}_{ofdm}^{-1}(i) \boldsymbol{\chi}_{ofdm}(i). \tag{5-30}$$

Seguindo procedimento semelhante ao caso do *single-carrier*, é possível calcular as igualdades em (5-28) e (5-29) de forma recursiva. Assim

$$\mathbf{\Phi}_{ofdm}(i) = \lambda \mathbf{\Phi}_{ofdm}(i-1) + \tilde{\mathbf{R}}^{\mathcal{H}}(i) \mathbf{W}_{M_1} \mathbf{T}(L_1) \mathbf{V}^{T}(L_1) \mathbf{V}(L_1) \mathbf{T}^{T}(L_1) \mathbf{W}_{M_1}^{\mathcal{H}} \tilde{\mathbf{R}}(i),$$
(5-31)

$$\boldsymbol{\chi}_{ofdm}(i) = \lambda \boldsymbol{\chi}_{ofdm}(i-1) + \tilde{\mathbf{R}}^{\mathcal{H}}(i) \mathbf{W}_{M_1} \mathbf{T}(L_1) \mathbf{V}^{T}(L_1) \mathbf{W}_{N}^{\mathcal{H}} \mathbf{b}(i).$$
 (5-32)

5.4.1 CP-OFDM - RLS

No caso do modelo CP-OFDM (Figura 5.3), a equação (5-23) se torna

$$J_{RLS} = \sum_{l=1}^{i} \lambda^{i-l} \left[\|\mathbf{b}(l) - \tilde{\mathbf{A}}(l)\tilde{\mathbf{r}}(i)\|^{2} \right]$$
$$= \sum_{l=1}^{i} \lambda^{i-l} \left[\|\mathbf{b}(l) - \tilde{\mathbf{R}}(l)\tilde{\mathbf{a}}(i)\|^{2} \right], \tag{5-33}$$

O erro associado ao i-ésimo bloco é representado por

$$\mathbf{e}_{CP}(i) = \mathbf{b}(i) - \tilde{\mathbf{R}}(i)\tilde{\mathbf{a}}(i) \tag{5-34}$$

A parcelas que involvem a solução para o filtro RLS (5-30) são calculadas fazendo

$$\mathbf{\Phi}_{ofdm}(i) = \lambda \mathbf{\Phi}_{ofdm}(i-1) + \tilde{\mathbf{R}}^{\mathcal{H}}(i)\tilde{\mathbf{R}}(i), \tag{5-35}$$

е

$$\chi_{ofdm}(i) = \lambda \chi_{ofdm}(i-1) + \tilde{\mathbf{R}}^{\mathcal{H}}(i)\mathbf{b}(i). \tag{5-36}$$

5.4.2 ZP-OFDM - RLS

No esquema de transmissão ZP-OFDM, a função custo (5-23) se reduz à

$$J_{RLS} = \sum_{l=1}^{i} \lambda^{i-l} \left[\|\mathbf{b}(l) - \mathbf{W}_N \mathbf{W}_{MN}^{\mathcal{H}} \tilde{\mathbf{R}}(l) \tilde{\mathbf{a}}(i) \|^2 \right], \tag{5-37}$$

e assim, o erro que está no argumento de (5-37) é

$$\mathbf{e}_{ZP}(i) = \mathbf{b}(i) - \mathbf{W}_N \mathbf{W}_{MN}^{\mathcal{H}} \tilde{\mathbf{R}}(i) \tilde{\mathbf{a}}(i)$$
 (5-38)

As atualizações da matriz e do vetor que involvem o cálculo da solução RLS são dadas por

$$\mathbf{\Phi}_{ofdm}(i) = \lambda \mathbf{\Phi}_{ofdm}(i-1) + \tilde{\mathbf{R}}^{\mathcal{H}}(i) \mathbf{W}_{MN} \mathbf{W}_{MN}^{\mathcal{H}} \tilde{\mathbf{R}}(i), \qquad (5-39)$$

e

$$\chi_{ofdm}(i) = \lambda \chi_{ofdm}(i-1) + \tilde{\mathbf{R}}^{\mathcal{H}}(i) \mathbf{W}_{MN} \mathbf{W}_{N}^{\mathcal{H}} \mathbf{b}(i).$$
 (5-40)

Novamente, tal qual no caso dos sistemas ZP-SC, a queda de desempenho pela aproximação $\mathbf{F}_M = \mathbf{W}_{MN} \mathbf{W}_{MN}^{\mathcal{H}} \approx \frac{N}{M} \mathbf{I}_M = \mathbf{F}_M'$ foi considerável. Assim,

a inversão da matriz $\Phi(i)$ é computacionalmente mais dispendiosa tendo em vista a manutenção da melhor operação do equalizador.

5.4.3 ZP-OFDM - RLS (Não diagonal)

Como percebido no Apêndice A, a aproximação no caso do ZP-OFDM-MMSE para uma matriz diagonal levou à uma queda de desempenho relativamente acentuada. Com o algoritmo recursivo implementando esta solução, obviamente, o mesmo ocorre. Para obter desempenho próximo da solução ótima MMSE, uma implementação com uma matriz não diagonal é necessária. Se por um lado há ganho de desempenho, por outro há queda na velocidade de convergência do algoritmo devido a correlação existente entre os *taps* do equalizador.

Expandindo a expressão da função custo definida em (5-22), chega-se em

$$J_{RLS} = \sum_{l=1}^{i} \lambda^{i-l} \left[\mathbf{b}^{\mathcal{H}}(l) - \tilde{\mathbf{r}}^{\mathcal{H}}(l) \tilde{\mathbf{A}}_{0}^{\mathcal{H}}(i) \right] \left[\mathbf{b}(l) - \tilde{\mathbf{A}}_{0}(i) \tilde{\mathbf{r}}(l) \right]$$

$$= \sum_{l=1}^{i} \lambda^{i-l} \left[\mathbf{b}^{\mathcal{H}}(l) \mathbf{b}(l) - \mathbf{b}^{\mathcal{H}}(l) \tilde{\mathbf{A}}_{0}(i) \tilde{\mathbf{r}}(l) - \tilde{\mathbf{r}}^{\mathcal{H}}(l) \tilde{\mathbf{A}}_{0}^{\mathcal{H}}(i) \mathbf{b}(l) + \tilde{\mathbf{A}}_{0}^{\mathcal{H}}(i) \tilde{\mathbf{A}}_{0}(i) \tilde{\mathbf{r}}(l) \tilde{\mathbf{r}}^{\mathcal{H}}(l) \right].$$
(5-41)

Forçando-se o gradiente à zero, encontra-se o ponto de mínimo desta função custo quadrática. Assim,

$$\nabla_{\tilde{\mathbf{A}}_{0}} J_{RLS} = \sum_{l=1}^{i} \lambda^{i-l} \nabla_{\tilde{\mathbf{A}}_{0}} \left[\mathbf{b}^{\mathcal{H}}(l) \mathbf{b}(l) - \tilde{\mathbf{A}}_{0}(i) \tilde{\mathbf{r}}(l) \mathbf{b}^{\mathcal{H}}(l) - \tilde{\mathbf{A}}_{0}^{\mathcal{H}}(i) \mathbf{b}(l) \tilde{\mathbf{r}}^{\mathcal{H}}(l) + \tilde{\mathbf{A}}_{0}^{\mathcal{H}}(i) \tilde{\mathbf{A}}_{0}(i) \tilde{\mathbf{r}}(l) \tilde{\mathbf{r}}^{\mathcal{H}}(l) \right]$$

$$= \sum_{l=1}^{i} \lambda^{i-l} \left[-\mathbf{b}^{*}(l) \tilde{\mathbf{r}}^{T}(l) + \tilde{\mathbf{A}}_{0}^{*}(i) \tilde{\mathbf{r}}^{*}(l) \tilde{\mathbf{r}}^{T}(l) \right].$$

$$= 0 \qquad (5-42)$$

Igualando as parcelas e conjugando os termos, obtém-se

$$\tilde{\mathbf{A}}_{0}(i) \underbrace{\sum_{l=1}^{i} \lambda^{i-l} \tilde{\mathbf{r}}(l) \tilde{\mathbf{r}}^{\mathcal{H}}(l)}_{\Phi_{ofdm}(i)} = \underbrace{\sum_{l=1}^{i} \lambda^{i-l} \mathbf{b}(l) \tilde{\mathbf{r}}^{\mathcal{H}}(l)}_{\mathbf{\chi}_{ofdm}(i)}, \tag{5-43}$$

onde reconhece-se do lado esquerdo da equação (5-43) a matriz quadrada $\Phi_{ofdm}(i)$, de dimensão $M \times M$, e que representa a matriz de autocorrelação temporal das observações e do lado direito da equação (5-43), o vetor $\chi_{ofdm}(i)$

de dimensão $N \times M$ que denota a correlação temporal cruzada dos dados enviados e observados [11] e [15]. Portanto, é direto que a solução é encontrada computando-se

 $\tilde{\mathbf{A}}(i) = \boldsymbol{\chi}_{ofdm}(i)\boldsymbol{\Phi}_{ofdm}^{-1}(i). \tag{5-44}$

Da mesma maneira que em (5-39) e (5-40), pode-se encontrar recursivamente as matrizes envolvidas em (5-44) fazendo

$$\mathbf{\Phi}_{ofdm}(i) = \lambda \mathbf{\Phi}_{ofdm}(i-1) + \tilde{\mathbf{r}}(i)\tilde{\mathbf{r}}^{\mathcal{H}}(i)$$
 (5-45)

е

$$\chi_{ofdm}(i) = \lambda \chi_{ofdm}(i-1) + \mathbf{b}(i)\mathbf{r}^{\mathcal{H}}(i),$$
(5-46)

lembrando que um fator de regularização deve ser introduzido no início da recursão de $\Phi_{ofdm}(i)$ para garantir a inversibilidade da matriz em todos os estágios do algoritmo. De maneira análoga ao encontrado no caso do ZP-SC-FDE-RLS, a inversa da matriz $\Phi_{ofdm}(i)$ pode ser encontrada fazendo uso do lema da inversão de matrizes (ou indentidade de Woodbury), reduzindo-se assim a complexidade envolvida em sua computação.

5.5 Análise do bloco recebido OFDM

No intuito de analisar a estrutura da matriz de erro que perturba os dados na recepção, é desenvolvido um raciocínio análogo ao realizado na Seção 4.1.

Resultados de simulação mostram que o filtro MMSE tem desempenho superior ao ZF, e por isso, sua estrutura diagonal (aproximada no caso do ZP) é considerada nos raciocínios das sub-seções que se seguem.

5.5.1 Análise do bloco recebido CP-OFDM

O bloco à ser equalizado pelo filtro linear é expresso em (5-5). Assim

$$\mathbf{y}_{CP}(i) = \tilde{\mathbf{A}}(i)\tilde{\mathbf{r}}_{CP}(i)$$

$$= \tilde{\mathbf{A}}(i)\tilde{\mathbf{Q}}_{d}(i)\mathbf{b}(i) + \tilde{\mathbf{A}}(i)\tilde{\mathbf{n}}_{N}(i)$$

$$= \epsilon_{d}(i)\mathbf{b}(i) + \mathbf{n}_{CP}(i). \tag{5-47}$$

A expressão denota que o bloco de dados recebido na transmissão CP-OFDM não sofre IES, visto que a matriz $N \times N \epsilon_d(i)$ é obtida a partir do produto de matrizes diagonais. Assim, não faz sentido implementar um

filtro de realimentação (feedback), pelo fato das componentes de $\mathbf{y}_{CP}(i)$ serem desaclopadas.

5.5.2 Análise do vetor recebido ZP-OFDM

A partir da expressão (5-10), pode-se expressar o bloco recebido no caso do ZP-OFDM como

$$\mathbf{y}_{ZP}(i) = \frac{M}{N} \underbrace{\mathbf{W}_{N} \mathbf{W}_{MN}^{\mathcal{H}} \tilde{\mathbf{A}}(i)}_{\tilde{\mathbf{A}}_{0}(i)} \mathbf{\tilde{Q}}_{d}(i) \mathbf{W}_{MN} \mathbf{W}_{N}^{\mathcal{H}} \mathbf{b}(i) + \tilde{\mathbf{A}}(i) \tilde{\mathbf{n}}(i)$$

$$= \frac{M}{N} \mathbf{W}_{N} \mathbf{V}(0) \mathbf{W}_{M}^{\mathcal{H}} \boldsymbol{\epsilon}_{d}(i) \mathbf{W}_{M} \mathbf{V}^{T}(0) \mathbf{W}_{N}^{\mathcal{H}} \mathbf{b}(i) + \mathbf{n}_{ZP}(i)$$

$$= \frac{M}{N} \mathbf{W}_{N} \mathbf{V}(0) \boldsymbol{\epsilon}_{c}(i) \mathbf{V}^{T}(0) \mathbf{W}_{N}^{\mathcal{H}} \mathbf{b}(i) + \mathbf{n}_{ZP}(i)$$

$$= \frac{M}{N} \mathbf{W}_{N} \boldsymbol{\epsilon}'(i) \mathbf{W}_{N}^{\mathcal{H}} \mathbf{b}(i) + \mathbf{n}_{ZP}(i), \qquad (5-48)$$

onde a matriz $\boldsymbol{\epsilon}_d(i)$ é diagonal, de dimensão $M \times M$, e a matriz circulante $\boldsymbol{\epsilon}_c(i)$ é obtida apartir do produto $\mathbf{W}_M^{\mathcal{H}} \boldsymbol{\epsilon}_d(i) \mathbf{W}_M$. A matriz $\boldsymbol{\epsilon}'(i)$ todavia, não tem uma forma definida e por conta disso o produto

$$\boldsymbol{\epsilon}''(i) = \mathbf{W}_N \boldsymbol{\epsilon}'(i) \mathbf{W}_N^{\mathcal{H}} \tag{5-49}$$

não apresenta, da mesma maneira, uma estrutura conhecida. A Figura 5.6 apresenta plotada a energia da primeira linha desta matriz erro $\boldsymbol{\epsilon}''(i)$, de onde percebe-se que a energia fica toda concentrada ao redor da primeira componentente. De maneira geral, a energia da N-ésima linha desta matriz de erro se concentra no entorno da N-ésima componente.

5.6 União dos Modelos

A semelhança entre os sistemas SC e OFDM permite que ambos sejam apresentados num modelo único, conforme visto na Figura 5.6. Definindo-se

$$\mathbf{G}_{TX} = \begin{cases} \mathbf{I}_N; & \text{se for SC} \\ \mathbf{W}_N^{\mathcal{H}}; & \text{se for OFDM} \end{cases}$$
 (5-50)

como um parâmetro que pode ser visto como uma pré-codificação feita na transmissão, o sistema OFDM representa então, um caso particular de uma série de pré-codificações possíveis [13]. Considerando-se também o estágio de DFE para o ZP-single-carrier, tem-se então o diagrama de blocos unificado, novamente, como ilustrado na Figura 5.6.

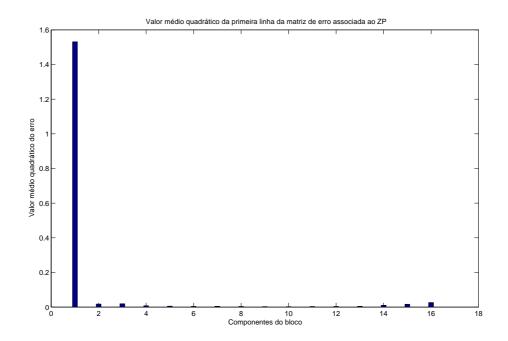


Figura 5.6: Energia associada à primeira coluna da matriz de erro relativa ao bloco ZP-OFDM a ser equalizado.

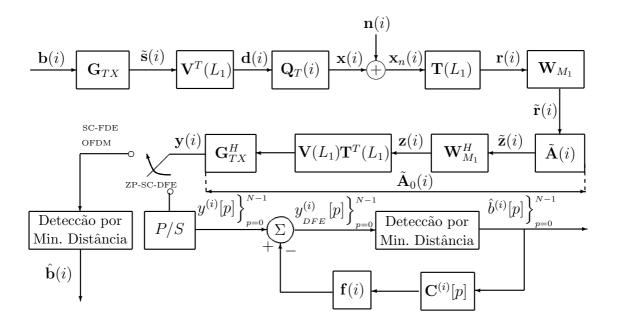


Figura 5.7: Diagrama em blocos do modelo unificado OFDM/SC, incluindo o estágio de DFE

5.7 Resultados de simulação

Primeiramente os resultados são apresentados para os equalizadores que detém conhecimento de canal (MMSE e ZF). As curvas de desempenho do OFDM são comparadas com as do *single-carrier*.

Em seguida, as curvas de desempenho dos sistemas com equalização adaptativa são apresentadas.

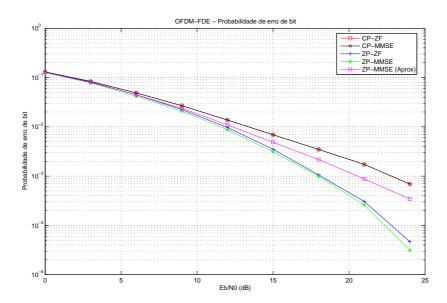


Figura 5.8: OFDM: Probabilidade de erro de bit para sistemas com equalização linear(LE).

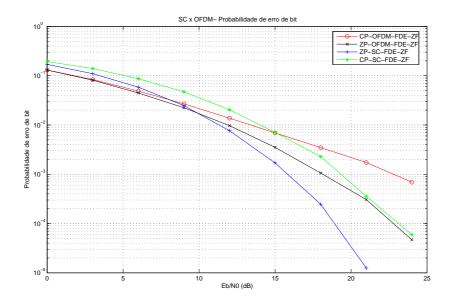


Figura 5.9: Probabilidade de erro de bit para sistemas OFDM e SC com equalização linear(LE) FDE-ZF.

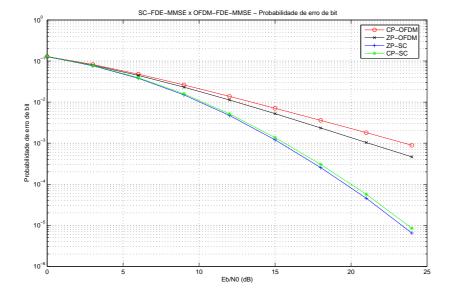


Figura 5.10: Probabilidade de erro de bit para sistemas OFDM e SC com equalização linear(LE) FDE-MMSE.

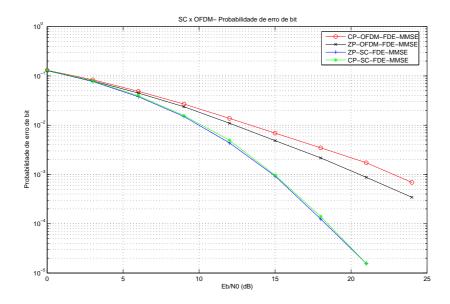


Figura 5.11: Probabilidade de erro de bit para OFDM e SC com equalização adaptativa linear.

5.8 Considerações finais

A tecnica OFDM é largamente utilizada e difundida. A fato de se dividir a informação a ser transmitida em subportadoras com taxas inferiores (e por isso, com pulsos mais largos) motivou seu uso comercial e pesquisas.

Devido ao grau de semelhança com os sistemas SC, o modelo OFDM é bastante semelhanto ao modelo SC e permite inclusive um esquema unificado de ambos com mostra a Figura 5.5.

Porém, como apresentado nos resultados de simulação, os sistemas de portadora única (single-carrier) apresentam desempenho superior ao OFDM, tanto com CP quanto com ZP.

O fato de dividir a informação em subportadoras traz consigo a perda de deversidade em frequência, principalmente no caso do CP-OFDM, onde não há qualquer diversidade involvida.

Este sistema (CP-OFDM), contudo, permite equalizar apenas a fase em modulações PSK ou até mesmo, não precisam de equalização, caso seja utilizada um modulação PSK diferencial.